

получим при  $s \rightarrow -\infty$

$$\sigma_{-} \approx \frac{Q}{2 \sin \pi/n} \frac{\Gamma^2(3/4) D_0(n)}{\Gamma(1+1/n) \Gamma(1-1/n)} \sqrt{\frac{1}{-sn}}$$

$$D_0(n) = \lim_{s \rightarrow \infty} D(s) = \sqrt{\frac{n}{2c(n)}} \frac{\Gamma(1+1/n) \Gamma(1-1/n)}{\Gamma^2(3/4)}$$

Для системы  $n$  трещин длины  $l$  получаем

$$(2.9) \quad N = Q(2\pi)^{-1/2} [(2\pi/n + \sin 2\pi/n)l]^{-1/2}$$

При  $n = 2$  это выражение совпадает с значением коэффициента при особенности поля напряжений в случае плоской трещины длины  $2l$ , растягиваемой сосредоточенными силами  $Q$ , приложенными к средним точкам ее берегов и действующими по нормали к трещине [6]. Используя (2.9), получаем для системы  $n$  радиальных свободных трещин длиной  $l$ , выходящих на полость радиуса  $r_0$ , нагруженную давлением  $p$ , следующее приближенное выражение для коэффициента при особенности поля напряжений в носике трещины

$$(2.10) \quad N = pr_0 \sqrt{2\pi n^{-1} [(2\pi/n + \sin 2\pi/n)l]^{-1/2}}, \quad l \gg r_0$$

Поступила 13 II 1974

#### ЛИТЕРАТУРА

1. Bowie O. L. Analysis of an infinite plate containing radial cracks originating at the boundary of an internal circular hole. J. Math. and Phys., 1956, vol. 35, No. 1.
2. Westmann R. A. Pressurized star crack. J. Math. and Phys., 1964, vol. 43, No. 3.
3. Сметанин Б. И. Об одной смешанной задаче теории упругости для клина. ПММ, 1968, т. 32, № 4.
4. Лурье А. И. Теория упругости. М., «Наука», 1970.
5. Нобл Б. Применение метода Винера — Хопфа для решения дифференциальных уравнений в частных производных. М., Изд-во иностр. лит., 1962.
6. Мусхелишвили Н. И. Некоторые основные задачи математической теории упругости. М., «Наука», 1966.

УДК 662.215.2:532.522

#### ПРИБЛИЖЕННЫЙ МЕТОД ОПРЕДЕЛЕНИЯ ИМПУЛЬСА НА КЛИНООБРАЗНОЙ ВЫЕМКЕ ПРИ МГНОВЕННОМ РАЗЛЕТЕ ТОНКОГО СЛОЯ ВЕЩЕСТВА С ЕЕ ПОВЕРХНОСТИ

*В. Г. Литвинов, А. Н. Ткаченко*

(Челябинск)

Предлагается наглядный геометрический метод, основанный на суперпозиции элементарных импульсов при многократном отражении разлетающихся частиц от поверхности выемки.

Результаты расчета хорошо согласуются с экспериментом.

1. В ряде случаев необходимо определить действующий на некоторую поверхность импульс давления от разлетающегося с нее тонкого слоя вещества в виде осколков и в газообразном состоянии, например от взрывчатого вещества (ВВ) при штамповке взрывом. Обычно эта задача описывается уравнениями газодинамики, решение которых в двумерной области проводится на ЭВМ. Однако анализ имеющихся решений [1-3] показывает возможность существенного упрощения задачи, если целью решения является только определение импульса.

Предположим, что для плоской поверхности импульс известен. В аналогичных условиях для клинообразной выемки он может быть приближенно найден следующим образом.

Элемент площади ВВ можно рассматривать как частицу с количеством движения

$$(1.1) \quad dr = i ds$$

в направлении внешней нормали к поверхности выемки, где  $i$  — известная интенсивность импульса. Если выемка симметрична (фиг. 1), то движение каждой частицы ограничено плоскостью симметрии  $yz$  и исходной поверхностью, при соударении с которыми вектор количества движения частицы может изменяться по величине и направлению, а преграда также получает соответствующий импульс. Будем считать процесс соударения упругим и, пренебрегая нелинейностью задачи, допустим возможность суммирования элементарных импульсов. В такой постановке задача решается чисто геометрически.

Вылетающая с поверхности  $AB$  в точке  $C$  частица подходит к плоскости симметрии под углом  $\beta_1 = \pi/2 - \alpha$ . Поскольку при упругом соударении угол отражения от плоскости симметрии и от граней выемки равен углу падения (масса тела, имеющего выемку, считается бесконечно большой, значительно больше массы ВВ), частица ударяется об исходную поверхность в точке  $E$  под углом  $\gamma_1 = \pi/2 - 2\alpha$ , а затем попадает в точку  $F$  под углом  $\beta_2 = \pi/2 - 3\alpha$  и в точку  $G$  под углом  $\gamma_2 = \pi/2 - 4\alpha$ . Очевидно, при  $k$ -м соударении с исходной поверхностью она подходит к ней и отражается под углом  $\gamma_k = \pi/2 - 2k\alpha$ . Максимально возможное количество соударений определяется из условия  $\gamma_m = \pi/2 - 2m\alpha \geq 0$ , откуда

$$(1.2) \quad m = [\pi/4\alpha]$$

(квадратные скобки означают здесь целую часть заключенного в них числа).

Отметим, что соударения частиц с исходной поверхностью возможны, если  $2\alpha < \pi/2$ , в противном случае частица от плоскости симметрии  $yz$  сразу уходит на бесконечность и взаимное влияние граней выемки исключается.

После каждого соударения нормальная составляющая вектора количества движения частицы изменяет знак, следовательно, преграда получает импульс  $2 \cos 2k\alpha dr$ . Полный импульс от частицы, отражающейся  $m$  раз

$$(1.3) \quad (dr)_m = \left( 1 + 2 \sum_{k=1}^m \cos 2k\alpha \right) dr$$

Известно [4], что

$$(1.4) \quad \sum_{k=1}^m \cos 2k\alpha = \frac{\sin(2m+1)\alpha}{2 \sin \alpha} - \frac{1}{2}$$

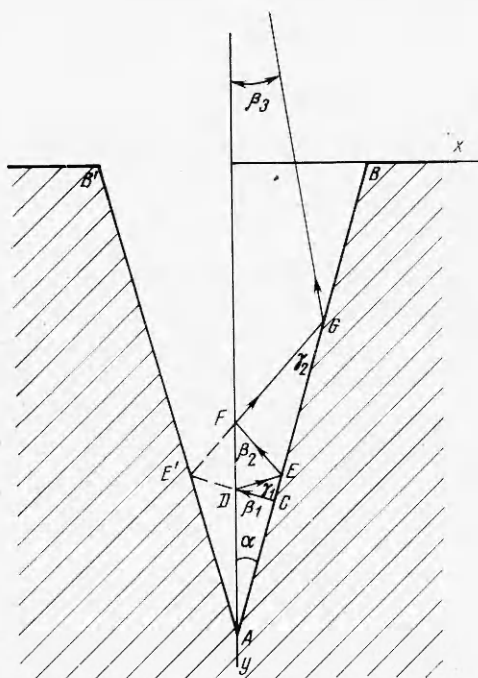
поэтому

$$(1.5) \quad (dr)_m = i \frac{\sin(2m+1)\alpha}{\sin \alpha} ds$$

Проекция импульса (1.5) на вертикальное направление (по оси  $y$ )

$$(1.6) \quad (dq)_m = i \sin(2m+1)\alpha ds$$

Этот результат можно было получить иначе, если учесть, что угол, образуемый вектором количества движения частицы с плоскостью  $yz$  при последнем отражении от грани,  $\beta^{m+1} = \pi/2 - (2m+1)\alpha$ .



Фиг. 1

После каждого соударения нормальная составляющая вектора количества движения частицы изменяет знак, следовательно, преграда получает импульс  $2 \cos 2k\alpha dr$ . Полный импульс от частицы, отражающейся  $m$  раз

$$(1.3) \quad (dr)_m = \left( 1 + 2 \sum_{k=1}^m \cos 2k\alpha \right) dr$$

Известно [4], что

$$(1.4) \quad \sum_{k=1}^m \cos 2k\alpha = \frac{\sin(2m+1)\alpha}{2 \sin \alpha} - \frac{1}{2}$$

поэтому

$$(1.5) \quad (dr)_m = i \frac{\sin(2m+1)\alpha}{\sin \alpha} ds$$

Проекция импульса (1.5) на вертикальное направление (по оси  $y$ )

$$(1.6) \quad (dq)_m = i \sin(2m+1)\alpha ds$$

Этот результат можно было получить иначе, если учесть, что угол, образуемый вектором количества движения частицы с плоскостью  $yz$  при последнем отражении от грани,  $\beta^{m+1} = \pi/2 - (2m+1)\alpha$ .

Положим  $2\alpha < \pi/2$  и найдем предельное расстояние  $AC$  от вершины выемки, при котором вылетающая из точки  $C$  частица попадает на исходную поверхность  $m$  раз. Из  $\Delta ACD$ ,  $AED$  и  $AEF$  находим

$$(1.7) \quad \begin{aligned} AD &= AC/\cos \alpha \\ AE &= AD \frac{\sin(\pi/2 + \alpha)}{\sin(\pi/2 - 2\alpha)} = AC/\cos 2\alpha \\ AF &= AE \frac{\sin(\pi/2 + 2\alpha)}{\sin(\pi/2 - 3\alpha)} = AC/\cos 3\alpha \end{aligned}$$

Обозначая расстояние  $k$ -й точки соударения частицы с гранью через  $b_k$ , получим

$$(1.8) \quad b_k = AC / \cos k\alpha$$

Поскольку  $b_k$  не должно превышать ширину грани  $l$ , предельное расстояние  $AC$ , при котором частица отражается  $k$  раз

$$(1.9) \quad c_k = l \cos 2k\alpha$$

Практически наиболее интересен случай, когда слой ВВ имеет постоянную толщину по всей выемке. При этом  $i = \text{const}$  и суммарный вертикальный импульс частиц, отражающихся  $m$  раз, будет (на единицу длины выемки)

$$(1.10) \quad Q_m = 2 \int_0^{c_m} (dq)_m = 2il \sin(2m + 1)\alpha \cos 2m\alpha$$

Суммарный импульс частиц, отражающихся  $k$  раз

$$(1.11) \quad Q_k = 2 \int_{c_{k+1}}^{c_k} (dq)_k = 4il \sin^2(2k + 1)\alpha \sin \alpha$$

$$k = 0, 1, 2, \dots, m - 1$$

Полный импульс от всех частиц

$$(1.12) \quad Q = 2il \left[ 2 \sin \alpha \sum_{k=0}^{m-1} \sin^2(2k + 1)\alpha + \sin(2m + 1)\alpha \cos 2m\alpha \right]$$

Переходя от тригонометрических функций к показательным и пользуясь формулой суммы геометрической прогрессии, после преобразований получим

$$(1.13) \quad Q = il \sin \alpha \left[ 2m + 1 + \frac{\sin(2m + 1)2\alpha}{\sin 2\alpha} \right]$$

Отношение  $Q$  к импульсу на плоской поверхности от слоя ВВ шириной  $2l$

$$(1.14) \quad \Phi = \frac{\sin \alpha}{2} \left[ 2m + 1 + \frac{\sin(2m + 1)2\alpha}{\sin 2\alpha} \right]$$

характеризует влияние профиля выемки.

График функции  $\Phi$  показан на фиг. 2 (1 — расчетная кривая, 2 — экспериментальная).

В точках, где  $\pi/4\alpha$  — целое число,  $\Phi$  непрерывна вместе со своей производной, причем в интервалах между этими точками  $\Phi$  имеет два экстремума:  $\max$  и  $\min$ . Наименьшее значение  $\Phi$  принимает при  $\alpha = 0.707$ , оно равно 0.681. Когда  $\alpha$  уменьшается до нуля,  $\Phi$  стремится к асимптотическому значению  $\pi/4$ .

2. Допустим, тонкий слой ВВ находится только на одной из граней выемки.

Тогда частица из точки  $C$  попадает в точку  $E'$  противоположной грани, симметричную относительно  $E$ , а затем отражается опять в точку  $G$  исходной поверхности (фиг. 1). Обе грани получают такой же вертикальный импульс, как одна грань при симметричном расположении ВВ, т. е.  $Q/2$ .

Кроме вертикального импульса появляется еще и горизонтальный (по оси  $x$ ).

Частица, отражающаяся  $m$  раз от обеих граней, дает в горизонтальном направлении импульс

$$(2.1) \quad (dt)_m = i \cos(2m + 1)\alpha ds$$

Суммарный импульс частиц, отражающихся  $m$  раз

$$(2.2) \quad T_m = \int_0^{c_m} (dt)_m = il \cos(2m+1)\alpha \cos 2m\alpha$$

$k$  раз

$$(2.3) \quad T_k = \int_{c_{k+1}}^{c_k} (dt)_k = il \sin(2k+1)2\alpha \sin \alpha$$

$$k = 0, 1, 2, \dots, m-1$$

Полный горизонтальный импульс

$$(2.4) \quad T = il \sin \alpha \left[ \sum_{k=0}^{m-1} \sin(2k+1)2\alpha + \frac{\cos(2m+1)\alpha \cos 2m\alpha}{\sin \alpha} \right]$$

После преобразований аналогично (1.13) найдем

$$(2.5) \quad T = il \sin \alpha \left[ \frac{1}{2 \tan \alpha} + \frac{\cos^2(2m+1)\alpha}{\sin 2\alpha} \right]$$

Слой ВВ шириной  $l$  на наклонной поверхности, совпадающей с гранью выемки, дает в горизонтальном направлении импульс

$$(2.6) \quad T = il \cos \alpha$$

Отношение (2.5) и (2.6)

$$(2.7) \quad \Psi = \frac{1}{2} \left\{ 1 + \left[ \frac{\cos(2m+1)\alpha}{\cos \alpha} \right]^2 \right\}$$

характеризует влияние профиля выемки на величину горизонтального импульса.

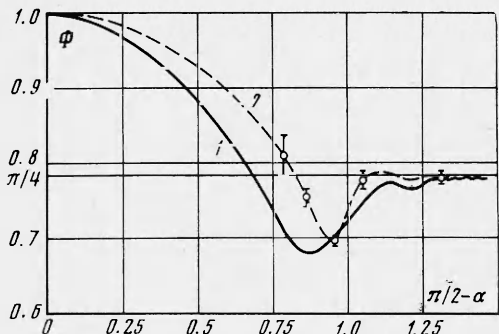
При  $m = 0$ ,  $\Psi = 1$  (взаимное влияние граней отсутствует); когда  $\alpha$  уменьшается до нуля,  $\Psi$  стремится к минимальному значению, равному 0.5.

3. Пусть ширина слоя  $\sigma$  меньше ширины граней выемки, например

$$c_n \leq \sigma < c_{n-1} \quad (n \leq m+1)$$

т. е.

$$(3.1) \quad \cos 2n\alpha \leq \sigma / l < \cos 2(n-1)\alpha$$



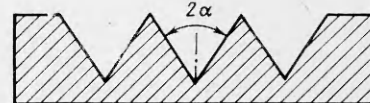
Фиг. 2

Это возможно при условии

$$(3.2) \quad n = 1 + \left[ \frac{1}{2\alpha} \arccos \frac{\sigma}{l} \right]$$

В таком случае полностью отсутствуют частицы, имеющие  $n = 2$  отражения или меньше, и неполнота — имеющие  $n = 1$  отражение. Следовательно, соответствующие импульсы необходимо вычесть из полного вертикального и горизонтального.

4. Экспериментальные исследования проводились на образцах с ребристой поверхностью из различных материалов (фиг. 3). На поверхность образца равномерно наносился тонкий слой бризантного ВВ. Образец с инициирующим устройством закреплялся на баллистическом маятнике, по отклонению которого определялась величина импульса. Импульс от инициирующего устройства определялся отдельно. Ребристые образцы сравнивались с плоскими из того же материала. Целью исследований являлось определение профиля выемки (угла  $\alpha$ ), при котором импульс, приходящийся на единицу веса ВВ, минимален.



Фиг. 3

Полученные экспериментально значения  $\Phi$  по характеру зависимости от  $\alpha$  совпадают с расчетными, несколько превышая их по величине. Для иллюстрации на фиг. 2 приведены экспериментальные значения  $\Phi$  (средние значения по пяти опытам и их разброс), полученные на стандартном пенопласте ПС1-350.

Поступила 29 VI 1973

#### ЛИТЕРАТУРА

1. Баум Ф. А., Станюкович К. П., Шехтер Б. И. Физика взрыва. М., Физматгиз, 1959.
2. Фонарев А. С. Нестационарное расширение газа в вакуум при различных законах и длительности выделения энергии. Инж. ж., 1965, т. 5, вып. 1.
3. Калмыков А. А., Кондратьев В. Н., Немчинов И. В. О разлете мгновенно нагретого вещества и об определении его уравнения состояния по величине давления и импульса. ПМТФ, 1966, № 5.
4. Градштейн И. С., Рыжик И. М. Таблицы интегралов, сумм, рядов и произведений. М., Физматгиз, 1962.

УДК 539.3.534.231.1

#### О ВЗАИМОДЕЙСТВИИ ВОЛН НАПРЯЖЕНИЙ С РАСТУЩЕЙ ТРЕЩИНОЙ

И. С. Гузь

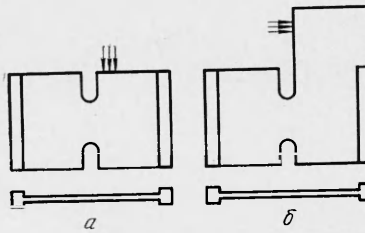
(Харьков)

В работе экспериментально исследуется взаимодействие продольных и рэлеевских волн с растущей трещиной. Показано, что с помощью волн напряжений можно эффективно изменять направление движения растущей трещины и осуществлять ее торможение. Изменение траектории роста трещины обусловлено изменениями напряженного состояния в ее вершине. Угол отклонения трещины зависит от угла атаки волны и исходного напряженного состояния в вершине. Приводится выражение для определения угла отклонения трещины.

Задача о дифракции волны напряжений на прямолинейном разрезе, подобном трещине, решалась многими авторами. В [1,2] рассматривалось взаимодействие плоской упругой волны с разрезом, края которого свободны или закреплены. Другое решение этой задачи приведено в [3], где искомые смещения выражены через значения некоторой функции  $F_1(\theta)$ , которая легко табулируется.

Авторы [4] исследовали воздействие попечной волны на стационарную трещину. Экспериментально дифракция рэлеевских волн на трещине изучалась в [5,6]. Показано, что продольные и поверхностные волны могут стимулировать развитие трещины, траектория их роста определяется напряженным состоянием, возникающим в окрестности вершины. Факт изменения траектории движения при воздействии упругих волн известен давно [7,8]. Это успешно применялось для определения скорости развития трещины, но собственно управление траекторией не рассматривалось, хотя в [8] приводится аналитическое выражение для определения угла отклонения при ударном сжатии и растяжении. Ниже будет показано, что приведенное выражение экспериментально не подтверждается.

Исходя из предположения, что доминирующим фактором, определяющим траекторию и скорость роста трещины, является напряженное состояние в ее вершине и что с помощью волн напряжений можно эффективно его изменять, были проведены исследования по определению возможности управления траекторией движения трещины с помощью волн напряжений. Использовался поляризационно-оптический метод в сочетании со скоростной киносъемкой.



Фиг. 1